

棕榈醇-棕榈酸-月桂酸/SiO₂复合相变调湿材料的制备*

张浩 黄新杰 刘秀玉

(安徽工业大学 建筑工程学院 马鞍山 243032)

摘要 以SiO₂为载体、以棕榈醇-棕榈酸-月桂酸为相变材料制备了棕榈醇-棕榈酸-月桂酸/SiO₂复合相变调湿材料,用等温吸放湿法、步冷曲线法、红外光谱分析(FT-IR)、扫描电镜(SEM)、激光粒度分析(LPSA)、热重分析(TG)及差示扫描量热分析(DSC)等手段对其进行了表征。结果表明: SiO₂对棕榈醇-棕榈酸-月桂酸有较好的包裹效果,所形成的棕榈醇-棕榈酸-月桂酸/SiO₂复合相变调湿材料不但具有较好的控温性能,还具有较好的调湿性能。

关键词 复合材料, 棕榈醇-棕榈酸-月桂酸, SiO₂, 调湿性能, 控温性能

分类号 TU522

文章编号 1005-3093(2015)11-0867-07

Preparation of Hexadecanol-Palmitic Acid-Lauric Acid/SiO₂ Composite as Phase Change Material for Humidity Control

ZHANG Hao** HUANG Xinjie LIU Xiuyu

(School of Civil Engineering and Architecture, Anhui University of Technology, Ma' anshan 243032, China)

*Supported by National Natural Science Foundation of China No. 51206002.

Manuscript received May 7, 2015; in revised form July 4, 2015.

**To whom correspondence should be addressed, Tel: 18755512282, E-mail: fengxu19821018@163.com

ABSTRACT A hexadecanol-palmitic acid-lauric acid/SiO₂ composite as phase change material for humidity control was prepared with SiO₂ as carrier and hexadecanol-palmitic acid-lauric acid as phase change material. The performance, molecular structure and morphology of the prepared composite were characterized by using methods of isothermal sorption, cooling curve, FT-IR, SEM, LPSA, TG, DSC and so on. The results show that SiO₂ was good coated with hexadecanol-palmitic acid-lauric acid; the prepared phase change material exhibits good performance both in temperature- and humidity-control.

KEY WORDS composite, hexadecanol-palmitic acid-lauric acid, SiO₂, humidity controlling performance, temperature controlling performance

低廉的多孔无机纳米SiO₂具有纳米效应、平均粒径小、比表面积大、表面能高和三维网络结构,将其作为载体^[1]与适宜建筑相变温度的有机酸复合实现对脂肪酸的有效固定^[2],既可提高相变材料的热稳定性,又提高了与无机建筑材料的相容性。目前的研究多集中于二元有机相变材料与廉价多孔无机材料(SiO₂)复合^[3-5],对三元有机相变材料与SiO₂复合的研究比较少^[6]。因为极少关注多孔无机材料(SiO₂)网络空隙结构可能具有的调湿性能,导致所研究的SiO₂基复合相变材料只能改善室内环境热舒适

度,而不能改善室内环境湿舒适度。本文以SiO₂作为载体材料,棕榈醇-棕榈酸-月桂酸作为相变材料,采用溶胶-凝胶法^[7]制备棕榈醇-棕榈酸-月桂酸/SiO₂复合相变调湿材料,用FT-IR、SEM、LPSA、TG、DSC等手段表征癸酸-棕榈酸/SiO₂复合相变材料的组成结构、微观形貌、粒径分布、热重和热性能,并通过等温吸放湿法和步冷曲线法研究棕榈醇-棕榈酸-月桂酸/SiO₂复合相变调湿材料的调湿性能和控温性能。

1 实验方法

主要原料: 正硅酸乙酯(Si(OC₂H₅)₄); 无水乙醇(CH₃CH₂OH), 分析纯; 棕榈醇(C₁₆H₃₄O, 分析纯); 棕榈酸(C₁₆H₃₂O₂), 分析纯; 月桂酸(C₁₂H₂₄O₂, 分析纯);

* 国家自然科学基金资助项目 51206002。

2015年5月7日收到初稿; 2015年7月4日收到修改稿。

本文联系人: 张浩

盐酸(HCl), 分析纯; 氨水(NH₃·H₂O), 分析纯; 实验用水均为去离子水。

制备工艺: 将棕榈醇、棕榈酸和月桂酸按质量分数比(30%: 20%: 50%)混合后放入烧杯中, 在 60℃ 水浴条件下溶解并搅拌 2 h 使其分散均匀, 得到棕榈醇-棕榈酸-月桂酸。将 0.15 mol 的正硅酸乙酯与 0.783 mol 的无水乙醇和 1.3545 mol 去离子水依次加入烧杯中, 用恒温磁力搅拌器在中速、60℃ 水浴条件下搅拌 10 min。将得到的混合液放入超声波细胞破碎仪中分散 15 min, 用盐酸和氨水调整混合液的 pH 值为 2.68, 然后放到超声波细胞破碎仪中继续分散 15 min, 得到 SiO₂溶胶。

将 0.0765 mol 的棕榈醇-棕榈酸-月桂酸加入到 SiO₂溶胶中, 用恒温磁力搅拌器在高速、60℃ 水浴条件下搅拌 15 min, 然后再一次超声波分散 45 min 以使棕榈醇-棕榈酸-月桂酸均匀分散, 使其嵌入到 SiO₂载体中。将得到的水溶胶放到 60℃ 恒温水浴锅中陈化 2 h 得到凝胶, 将凝胶放在 80℃ 干燥箱中烘干 8 h 后得到棕榈醇-棕榈酸-月桂酸/SiO₂复合相变调湿材料。

性能测试: 使用万分之一精密天平作为主要测试仪器, 采用等温吸放湿法^[8-9]测试调湿性能。将 5 g 试样置于干燥箱中干燥, 当试样间隔 24 h 的 3 次连续称量质量差小于 0.1% 时则认为试样完全干燥。将干燥后的试样放置在干燥皿中饱和盐溶液挡板的上方, 在某一相对湿度条件下试样间隔 24 h 的 3 次连续称量质量差小于 0.1% 时则认为试样吸湿达到平衡, 然后将试样放置在另一相对湿度环境中。重复上述步骤, 周期称量试样在每种湿度环境中达到平衡后的质量并记录。上述测试过程共有 7 种相对湿度环境(见表 1), 变化范围为 32.78%~97.30%。放湿试验步骤同上。试样的平衡含湿量(g/g)为

$$u = \frac{m - m_0}{m_0} \tag{1}$$

表 1 饱和盐溶液的相对湿度(25℃)
Table 1 Relative humidity of saturated salt in water (25℃)

Relative humidity/%	Molecular formula
32.78	MgCl ₂
43.16	K ₂ CO ₃
52.89	Mg(NO ₃) ₂
64.92	CoCl ₂
75.29	NaCl
84.34	KCl
97.30	K ₂ SO ₄

式中 m_0 为干燥状态下试样的质量(g), m 为吸放湿后的试样质量(g)。

选取热电偶作为主要仪器, 采用步冷曲线法^[10-12]测试控温性能。将 2.5 g 试样放入试管, 将热电偶的温度探头没入试样中。将试管放入 40℃ 水浴中, 待试样温度升至 35℃ 时取出试管放入 10℃ 水浴中, 使试样的温度降至 15℃。在 35~15℃ 降温过程中每 5 s 用电偶对试样的温度采点一次, 然后作图, 用 35~15℃ 降温过程所需的时间表示试样的控温性能。

试样的表征: 使用 BRUKER VECIOR22 型傅立叶变换红外光谱仪(FT-IR)分析棕榈醇-棕榈酸-月桂酸/SiO₂复合相变调湿材料的组成结构; 用 JSM-6510LV 型扫描电镜(SEM)分析其的微观形貌; 用 NANOPHOX 型激光粒度分析仪(LPSA)分析其的粒径分布; 用 TA 仪器公司 Q600 型热重分析仪(TG)分析其热稳定性能; 用 TA 2910 型差示扫描量热仪(DSC)分析其热性能。

2 结果和讨论

2.1 棕榈醇-棕榈酸-月桂酸/SiO₂复合相变调湿材料的组成

图 1a 给出了 SiO₂ 的 FT-IR 测试结果。可见 SiO₂ 在 1056.47, 792.75, 933.75 cm⁻¹ 处分别出现环状 Si-O-Si 的反对称伸缩振动吸收峰、Si-O-Si 的对称伸缩振动吸收峰和 Si-OH 的弯曲振动吸收峰。图 1b 给出了棕榈醇-棕榈酸-月桂酸的 FT-IR 测试结果。可见棕榈醇-棕榈酸-月桂酸在 2917.05 和 2849.35 cm⁻¹ 处出现—CH₃、—CH₂ 的反对称伸缩振动和对称伸缩振动引起的 C-H 键伸缩振动峰, 1464.88 和 939.35 cm⁻¹ 处出现 -OH 面内弯曲和面外弯曲振动引起的吸收峰, 1706.44 cm⁻¹ 处出现 C=O 伸缩振动吸收峰。图 1c 给出了棕榈醇-棕榈酸-月桂酸/SiO₂ 复合相变调湿材料的 FT-IR 测试结果。可见棕榈醇-棕榈酸-月桂酸/SiO₂ 复合相变调湿材料在 2917.34, 2849.75, 1710.27, 1466.16, 1057.93, 938.40, 和 800.03 cm⁻¹ 处均出现 SiO₂ 和棕榈醇-棕榈酸-月桂酸的吸收峰, 其位置和强弱只是稍微发生转移和变化。这个结果说明, 棕榈醇-棕榈酸-月桂酸/SiO₂ 复合相变调湿材料中棕榈醇-棕榈酸-月桂酸与 SiO₂ 未发生显著的化学作用, 仅仅是物理嵌合。

2.2 棕榈醇-棕榈酸-月桂酸/SiO₂复合相变调湿材料的形貌

图 2a 给出了 SiO₂ 的 SEM 测试结果, 可见 SiO₂ 整体呈现海绵状, 颗粒通过聚集和短颈相连形成一种

chinaXiv:202303.00222v1

三维网络结构, 并且形成大量的孔隙, 孔隙的结构清晰、尺寸较小。图 2b 给出了棕榈醇-棕榈酸-月桂酸/SiO₂复合相变调湿材料的 SEM 测试结果, 可见棕榈醇-棕榈酸-月桂酸/SiO₂复合相变调湿材料呈现不规则的颗粒状, 类似多个小球状体被串连在一起, 存在一定的团聚现象。这个结果说明, 棕榈醇-棕榈酸-月桂酸通过溶胶-凝胶的方式有效地穿插进 SiO₂ 的孔隙, 较好地被包裹于 SiO₂ 中, 有良好的定形效果。

2.3 棕榈醇-棕榈酸-月桂酸/SiO₂复合相变调湿材料的粒径分布

图 3a 给出了 SiO₂ 的 LPSA 测试结果, 可见 SiO₂ 的 $d_{10}=224.16$ nm、 $d_{50}=382.31$ nm 和 $d_{90}=698.64$ nm, 与 SiO₂ 的微观形貌测试结果(图 2a)基本一致。这是因为, 作为分散介质的去离子水和 SiO₂ 都是极性较强的分子。根据相似相容原理, 极性介质—去离子水对 SiO₂ 的分散作用较好。图 3b 给出了棕

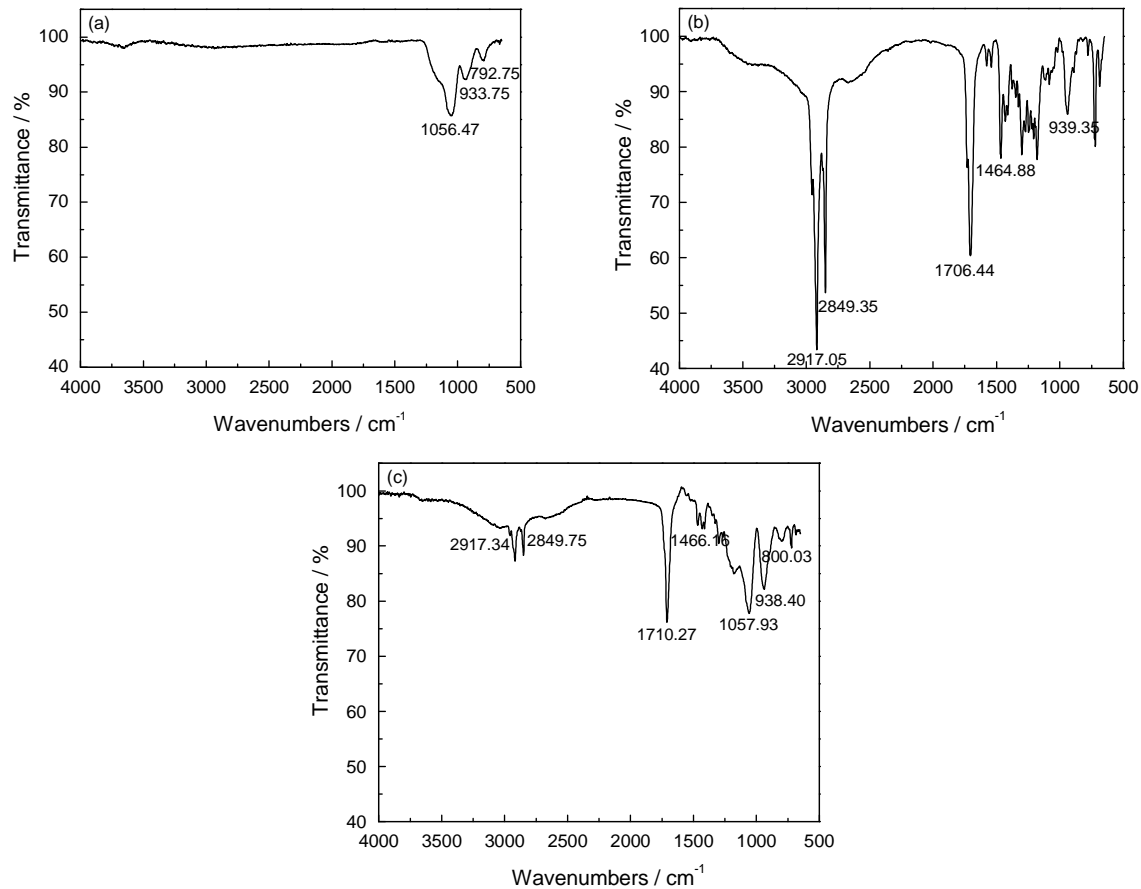


图 1 SiO₂、棕榈醇-棕榈酸-月桂酸以及棕榈醇-棕榈酸-月桂酸/SiO₂复合相变调湿材料的 FT-IR 测试结果

Fig.1 FT-IR measurement results of SiO₂ (a), hexadecanol-palmitic acid-lauric acid (b) and hexadecanol-palmitic acid-lauric acid/SiO₂ composite phase change and humidity controlling materials (c)

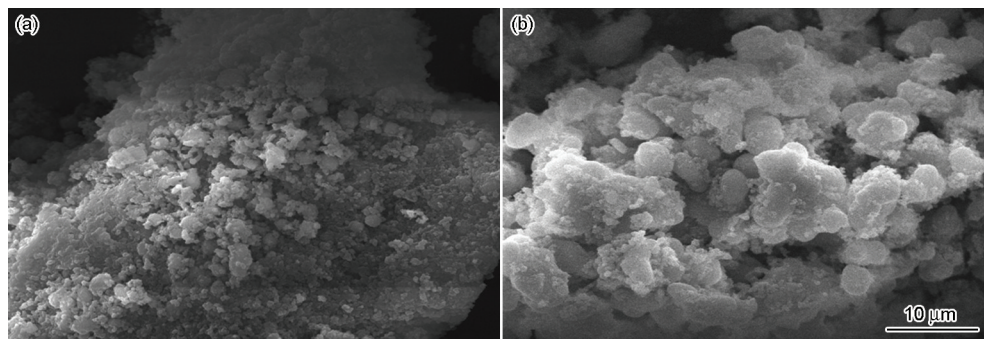


图 2 SiO₂和棕榈醇-棕榈酸-月桂酸/SiO₂复合相变调湿材料的 SEM 像

Fig.2 SEM measurement results of SiO₂ (a) and hexadecanol-palmitic acid-lauric acid/SiO₂ composite phase change and humidity controlling materials (b)

桐醇-棕榈酸-月桂酸/SiO₂复合相变调湿材料的LP-SA测试结果。可见棕榈醇-棕榈酸-月桂酸/SiO₂复合相变调湿材料的 $d_{10}=1551.88$ nm、 $d_{50}=2570.29$ nm和 $d_{90}=4612.13$ nm基本与棕榈醇-棕榈酸-月桂酸/SiO₂复合相变调湿材料的微观形貌测试结果图2b一致。这说明,去离子水对棕榈醇-棕榈酸-月桂酸/SiO₂复合相变调湿材料也具有较好的分散作用,进一步验证了SiO₂对棕榈醇-棕榈酸-月桂酸良好的包裹效果。

2.4 棕榈醇-棕榈酸-月桂酸/SiO₂复合相变调湿材料的热稳性能

图4a给出了SiO₂的TG测试结果,可见SiO₂在700℃时的失重率仅为10.50%。这是SiO₂吸附的水分和残存的有机基团挥发所致。图4b给出了棕榈醇-棕榈酸-月桂酸的TG测试结果。可见棕榈醇-棕榈酸-月桂酸的主要失重区间为150–400℃,400℃时棕榈醇-棕榈酸-月桂酸的失重率已达到95%以上,700℃时棕榈醇-棕榈酸-月桂酸的失重率为

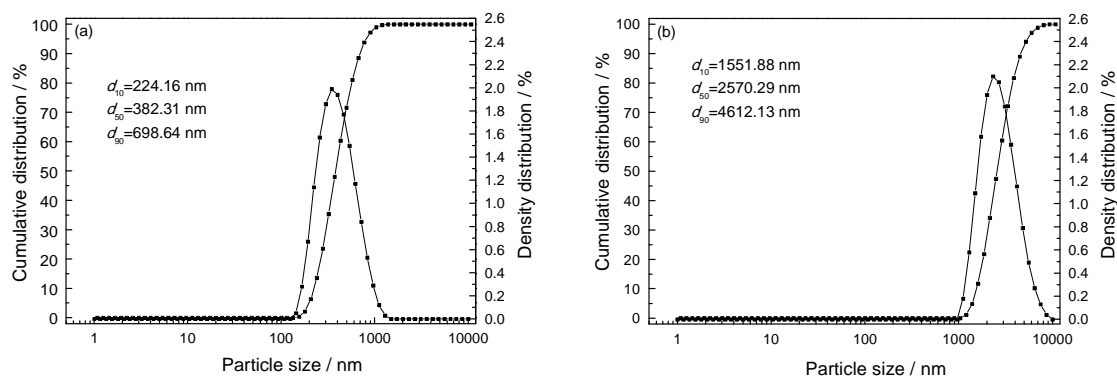


图3 SiO₂和棕榈醇-棕榈酸-月桂酸/SiO₂复合相变调湿材料的LPSA测试结果

Fig.3 LPSA measurement results of SiO₂(a) and hexadecanol-palmitic acid-lauric acid/SiO₂ composite phase change and humidity controlling materials (b)

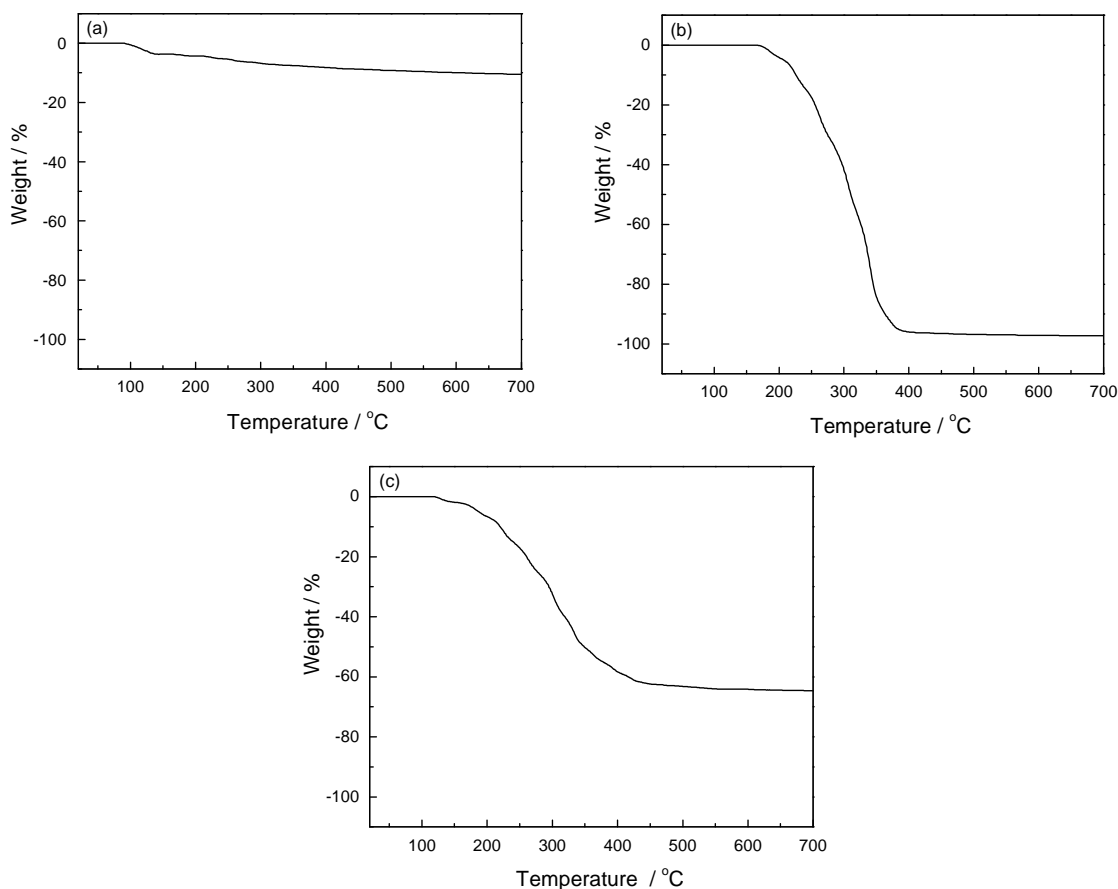


图4 SiO₂、棕榈醇-棕榈酸-月桂酸以及棕榈醇-棕榈酸-月桂酸/SiO₂复合相变调湿材料的TG测试结果

Fig.4 TG measurement results of SiO₂ (a), hexadecanol-palmitic acid-lauric acid (b) and hexadecanol-palmitic acid-lauric acid/SiO₂ composite phase change and humidity controlling materials (c)

97.29%。图4c给出了棕榈醇-棕榈酸-月桂酸/SiO₂复合相变调湿材料的TG测试结果。可见棕榈醇-棕榈酸-月桂酸/SiO₂复合相变调湿材料从120℃左右开始失重, 120–400℃是主要失重区间。这主要是棕榈醇-棕榈酸-月桂酸的挥发引起的, 700℃时的失重率为64.70%, 由此可以推算出棕榈醇-棕榈酸-月桂酸的质量分数约为54.20%。同时还可以看出, 棕榈醇-棕榈酸-月桂酸/SiO₂复合相变调湿材料在120℃以下没有发生分解或质量损失, 说明其具有良好的稳定性, 适合在建筑领域使用。

2.5 棕榈醇-棕榈酸-月桂酸/SiO₂复合相变调湿材料的热性能

图5a给出了棕榈醇-棕榈酸-月桂酸的DSC测试结果, 可见棕榈醇-棕榈酸-月桂酸的相变温度为28.18℃, 相变焓为173.36 J/g。图5b给出了棕榈醇-棕榈酸-月桂酸/SiO₂复合相变调湿材料的DSC测试结果, 可见棕榈醇-棕榈酸-月桂酸/SiO₂复合相变调湿材料的相变温度为27.05℃, 相变焓为91.35 J/g。

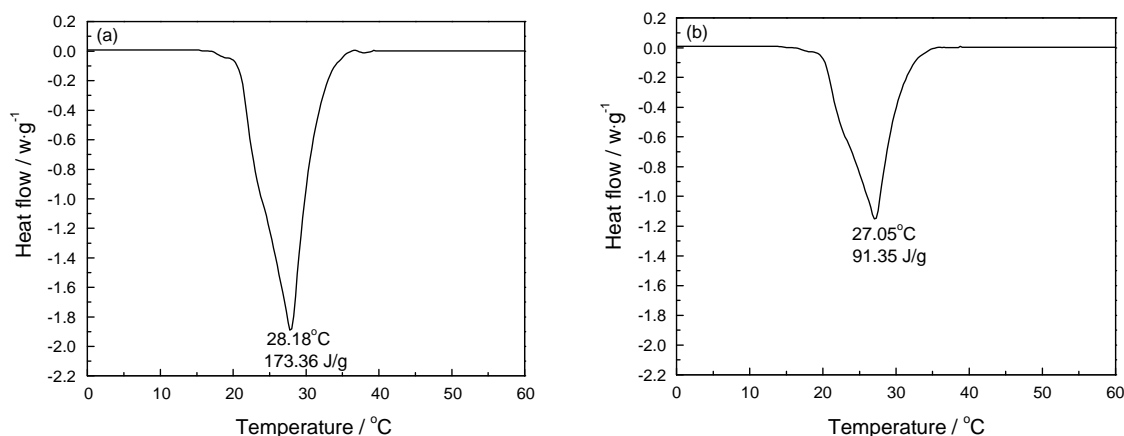


图5 棕榈醇-棕榈酸-月桂酸和棕榈醇-棕榈酸-月桂酸/SiO₂复合相变调湿材料的DSC测试结果

Fig.5 DSC measurement results of hexadecanol-palmitic acid-lauric acid (a) and hexadecanol-palmitic acid-lauric acid/SiO₂ composite phase change and humidity controlling materials (b)

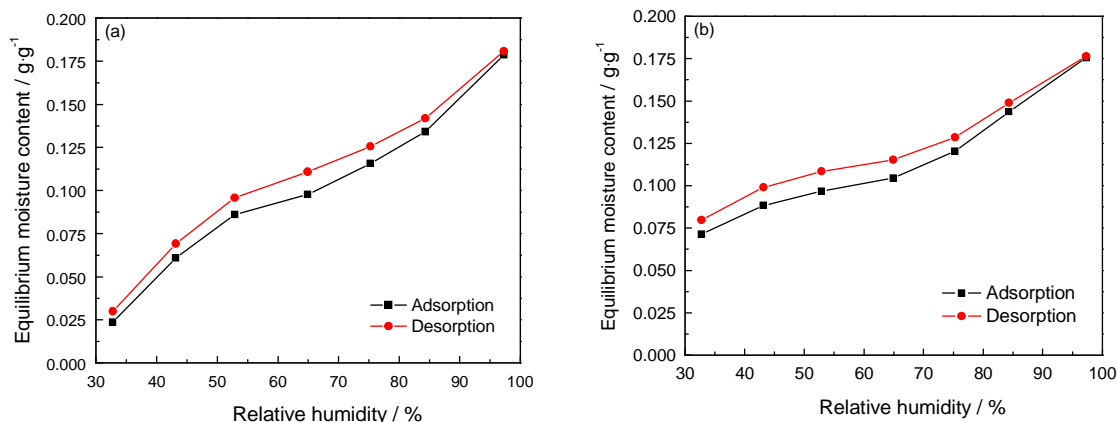


图6 SiO₂和棕榈醇-棕榈酸-月桂酸/SiO₂复合相变调湿材料的调湿性能

Fig.6 Humidity controlling performance of SiO₂ (a) and hexadecanol-palmitic acid-lauric acid/SiO₂ composite phase change and humidity controlling materials (b)

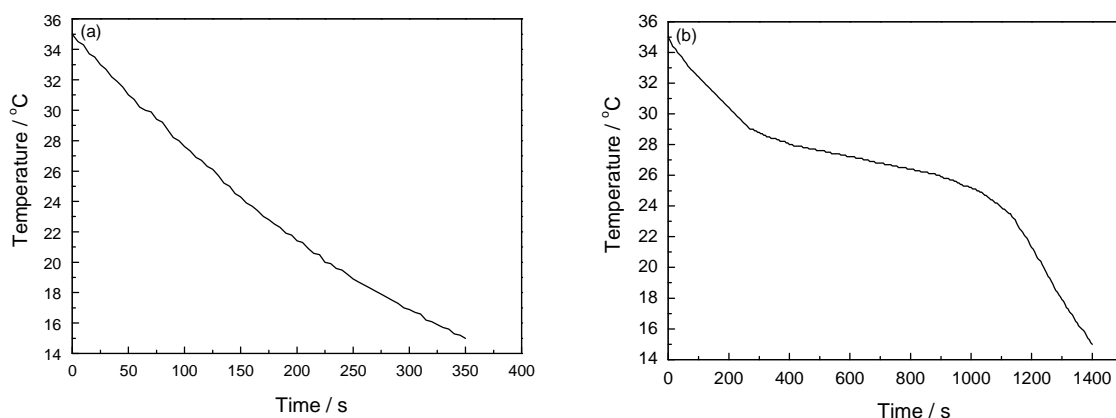


图7 SiO₂和棕榈醇-棕榈酸-月桂酸/SiO₂复合相变调湿材料的控温性能

Fig.7 Temperature controlling performance of SiO₂ (a) and hexadecanol-palmitic acid-lauric acid/SiO₂ composite phase change and humidity controlling materials (b)

平衡含湿量为0.0692–0.1108 g/g。这表明, SiO₂具有较好的调湿性能, 因为SiO₂具有较大的孔体积和孔比表面积有利于吸附水分子。图6b给出了棕榈醇-棕榈酸-月桂酸/SiO₂复合相变调湿材料的调湿性能测试结果。可见棕榈醇-棕榈酸-月桂酸/SiO₂复合相变调湿材料在相对湿度97.30%时其平衡含湿量达到0.1755–0.1763 g/g, 而且在舒适湿度范围40%–65%之间的吸湿平衡含湿量为0.0883–0.1045 g/g, 放湿平衡含湿量为0.0990–0.1153 g/g。可以看出, 棕榈醇-棕榈酸-月桂酸/SiO₂复合相变调湿材料也具有较好的调湿性能, 并且其调湿性能与SiO₂调湿性能相差不大。这进一步验证了SiO₂对棕榈醇-棕榈酸-月桂酸良好的包裹效果, 说明了棕榈醇-棕榈酸-月桂酸/SiO₂复合相变调湿材料的调湿性能主要由SiO₂性能决定。

图7a给出了SiO₂的控温性能测试结果, 可见SiO₂的步冷曲线在降温过程中呈现线性变化, 说明SiO₂不具有潜热性能。图7b给出了棕榈醇-棕榈酸-月桂酸/SiO₂复合相变调湿材料的控温性能测试结果, 可见棕榈醇-棕榈酸-月桂酸/SiO₂复合相变调湿材料的步冷曲线在24~28°C之间出现明显的相变平台, 并且持续时间较长。这个结果说明, 棕榈醇-棕榈酸-月桂酸/SiO₂复合相变调湿材料具有较好的控温性能。

3 结 论

1. 以SiO₂作为载体材料、以棕榈醇-棕榈酸-月桂酸作为相变材料, 采用溶胶-凝胶法制备的棕榈醇-棕榈酸-月桂酸/SiO₂复合相变调湿材料具有较好的控温性能, 还具有良好的调湿性能, 相变温度为27.05°C, 相变焓为91.35 J/g。

2. 棕榈醇-棕榈酸-月桂酸/SiO₂复合相变调湿材

料中棕榈醇-棕榈酸-月桂酸与SiO₂未发生明显的化学作用, 仅仅是物理嵌合。棕榈醇-棕榈酸-月桂酸/SiO₂复合相变调湿材料呈现不规则的颗粒状, 出现一定程度的团聚, 棕榈醇-棕榈酸-月桂酸较好地包裹在SiO₂中形成良好的定形效果。

3. 以去离子水为分散介质, 棕榈醇-棕榈酸-月桂酸/SiO₂复合相变调湿材料具有较好的分散性效果。棕榈醇-棕榈酸-月桂酸/SiO₂复合相变调湿材料失重的主要原因是棕榈醇-棕榈酸-月桂酸的挥发, 可推算出棕榈醇-棕榈酸-月桂酸的质量分数约为54.20%。

参 考 文 献

- 1 F. He, X. D. Wang, D. Z. Wu, New approach for sol-gel synthesis of microencapsulated n-octadecane phase change material with silica wall using sodium silicate precursor, *Energy*, **67**, 223(2014)
- 2 A. Sharma, V. V. Tyagi, C. R. Chen, Review on thermal energy storage with phase change materials and applications, *Renewable and Sustainable Energy Reviews*, **13**(2), 318(2009)
- 3 ZHANG Hong, WU Xiaohua, WANG Xiaolei, WANG Qianqian, Structure and properties of lauric acid/cetyl alcohol/silicon dioxide composite phase change material, *Journal of Materials Science & Engineering*, **28**(5), 672(2010)
(张 鸿, 武晓华, 王晓磊, 王倩倩, 月桂酸/十六醇/二氧化硅复合相变材料的结构与性能, *材料科学与工程学报*, **28**(5), 672(2010))
- 4 B. X. Li, T. X. Liu, L. Y. Hu, L. N. Gao, Fabrication and properties of microencapsulated paraffin@SiO₂ phase change composite for thermal energy storage, *Acs Sustainable Chemistry & Energy*, **1**(3), 374(2013)
- 5 FU Lujun, DONG Faqin, YANG Yushan, HE Ping, Preparation and characterization of binary fatty acid/SiO₂ composite phase change energy storage materials, *Journal of Functional Materials*, **44**(4), 1(2013)
(付路军, 董发勤, 杨玉山, 何 平, 二元脂肪酸/SiO₂复合相变储能材料的制备与表征, *功能材料*, **44**(4), 1(2013))
- 6 YU Yongsheng, JING Qiangshan, SONG Fangfang, Study on the ternary phase change system of H/PA/LA, *Journal of Building Ma-*

- terials, **16**(1), 97(2013)
(于永生, 井强山, 宋方方, 十六醇/十六酸/十二酸三元复合相变体系研究, 建筑材料学报, **16**(1), 97(2013))
- 7 ZHANG Hao, HUANG Kai, HUANG Xinjie, Study on degradation effect of Ce-TiO₂ photocatalyst coating on formaldehyde solution and its prediction model, Chinese Rare Earths, **35**(4), 18(2014)
(张 浩, 黄 凯, 黄新杰, Ce-TiO₂光催化涂料降解甲醛溶液的性能研究及预测模型, 稀土, **35**(4), 18(2014))
- 8 LI Kuishan, ZHANG Xu, HAN Xing, ZHU Dongming. Experimental research of isothermal sorption curve of building materials, Journal of Building Materials, **12**(1), 81(2009)
(李魁山, 张 旭, 韩 星, 朱东明, 建筑材料等温吸放湿曲线性能实验研究, 建筑材料学报, **12**(1), 81(2009))
- 9 HUANG Zishuo, YU Hang, ZHANG Meiling, Humidity-control materials and their humidity absorption and desorption rate variation, Journal of Tongji University(Natural Science), **42**(2), 310 (2014)
(黄子硕, 于 航, 张美玲, 建筑调湿材料吸放湿速度变化规律, 同济大学学报(自然科学版), **42**(2), 310(2014))
- 10 SHANG Jianli, WANG Si, DONG Li, Prepared of PAR/POL/SOD-composite-wall microencapsulated and research of energy storage and humidity-control performance, Journal of Functional Materials, **44**(8), 1141(2013)
(尚建丽, 王 思, 董 莉, PAR/POL/SOD 复合微胶囊的制备及热湿性能研究, 功能材料, **44**(8), 1141(2013))
- 11 G. Y. Fang, Z. Chen, H. Li, Synthesis and properties of microencapsulated paraffin composites with SiO₂ shell as thermal energy storage materials, Chemical Engineering Journal, **163**(1-2), 154(2010)
- 12 SHANG Jianli, Li Qianming, WANG Zhengjun. Preparation and thermal performance tests of microencapsulated gypsum-based phase change building material, Acta Energiae Solaris Sinica, **33**(12), 2140(2012)
(尚建丽, 李乔明, 王争军, 微胶囊相变储能石膏基建筑材料制备及性能研究, 太阳能学报, **33**(12), 2140(2012))